

Traitement du signal (12 h)

1

Systèmes linéaires stochastiques

- Modèles AR, MA, ARMA
- Prédiction linéaire
- Estimation spectrale «moderne»

Antennerie, Holographie acoustique



Bibliographie

2

- **Modern Spectral Estimation** (S. M. Kay), Englewood Cliffs, NJ:Prentice Hall, 1988.
- **Discrete-Time Signal Processing** (A. V. Oppenheim and R. W. Schaffer) Englewood Cliffs, NJ:Prentice Hall, 1989.
- **Digital Signal Processing: Principles, Algorithms and Applications** (J. G. Proakis and D. G. Manolakis), Upper Saddle River, NJ:Prentice Hall, 1996.
- **Signaux et systèmes linéaires** (Y. Thomas), Masson, 1994.

Applications des modèles paramétriques

3

- Identification de fonctions de transfert
- Extraction de caractéristiques
- Traitements adaptatifs
- Analyse spectrale

Extraction de caractéristiques pour le Diagnostic

- **Forme (pattern) : décrit l'état du système**
 - « Réalisation » x_i d'un vecteur forme de d paramètres, caractères (features)
 - Point de l'espace \mathbb{R}^d

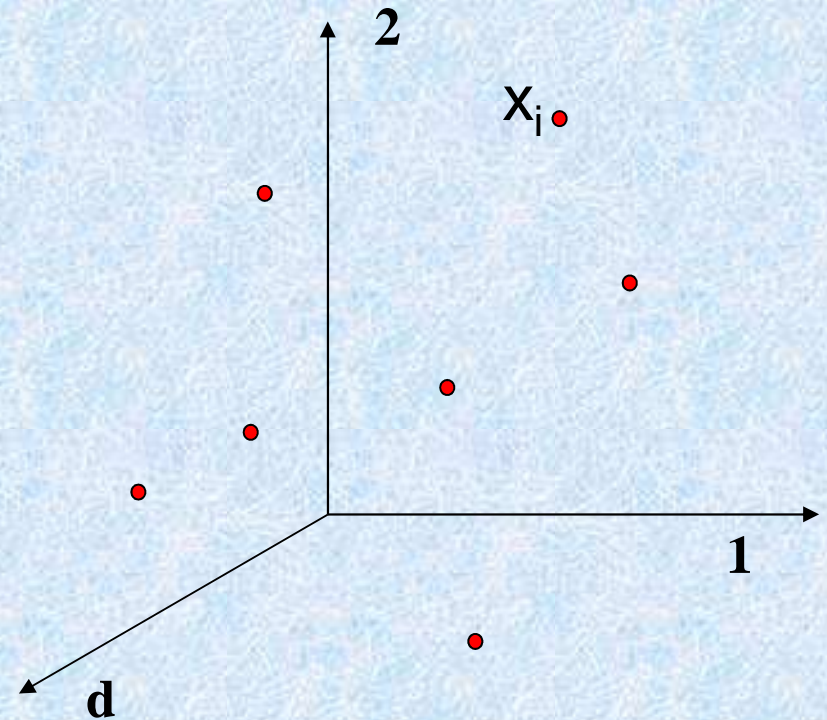
4

Vecteur forme

[paramètre 1 : pic
paramètre 2 : énergie
paramètre 3 : zone du plan
: temps-fréquence
:
paramètre d : puissance
ligne spectrale]

Forme

$X_i = \begin{bmatrix} x_{i1} \\ x_{i2} \\ x_{i3} \\ \vdots \\ x_{id} \end{bmatrix}$

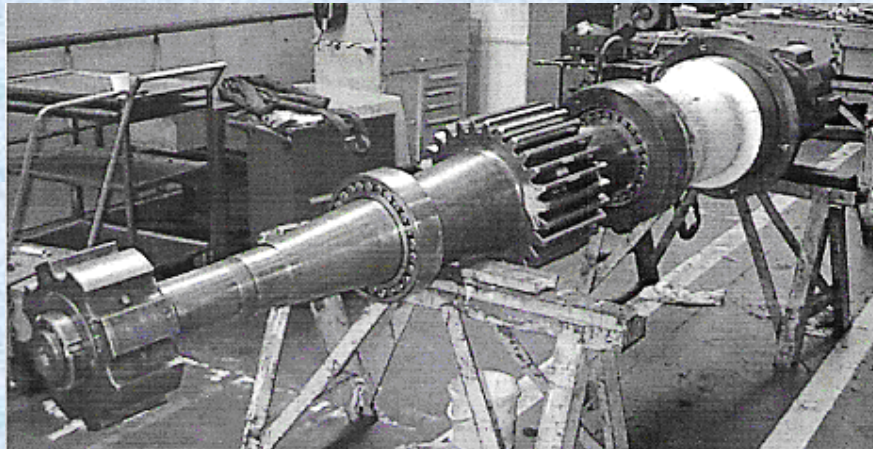


Application : diagnostic vibratoire

5

Objectif : Détecter la présence de défauts éventuels sur des composants d'une machine tournante.

Technique utilisée : Suivi de l'analyse spectrale de signaux vibratoires enregistrés par un accéléromètre.



**Exemple : Arbre de presse d'emboutissage
dans l'industrie automobile**

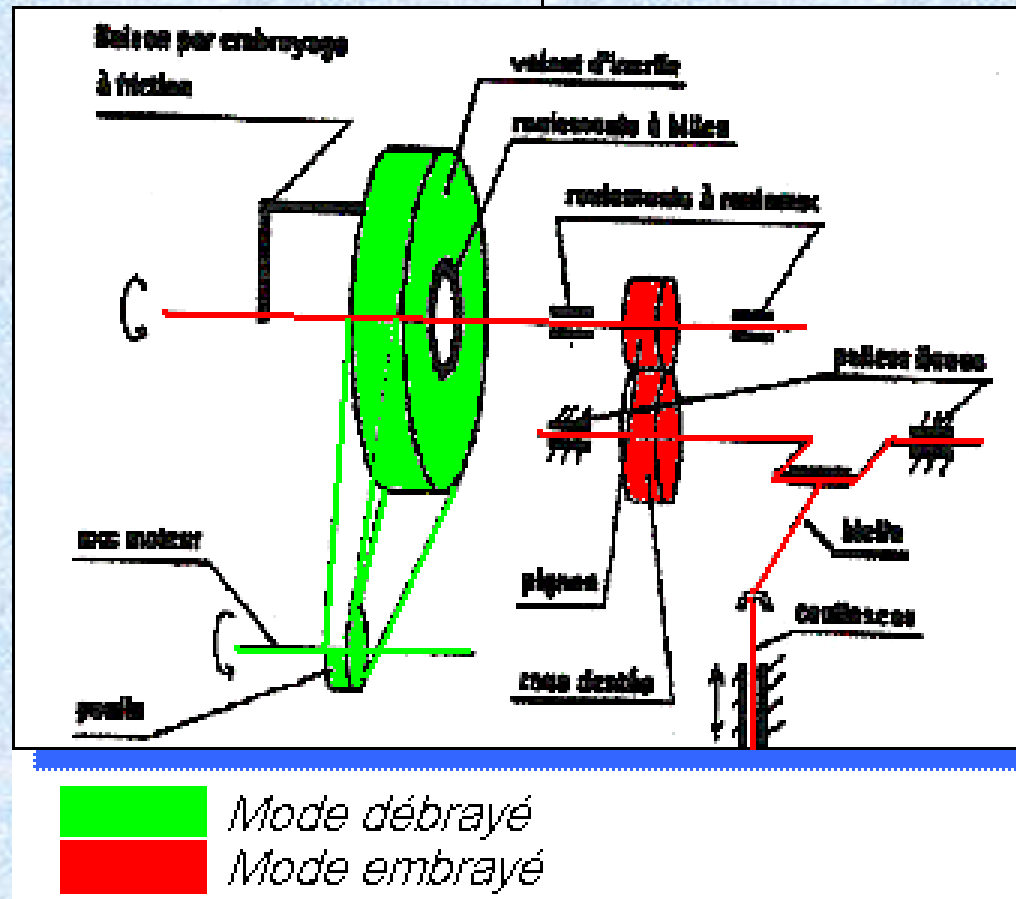
Mode débrayé

L'embrayage n'étant pas excité, seuls le volant d'inertie, la courroie de transmission et le moteur sont en fonctionnement.

Mode embrayé

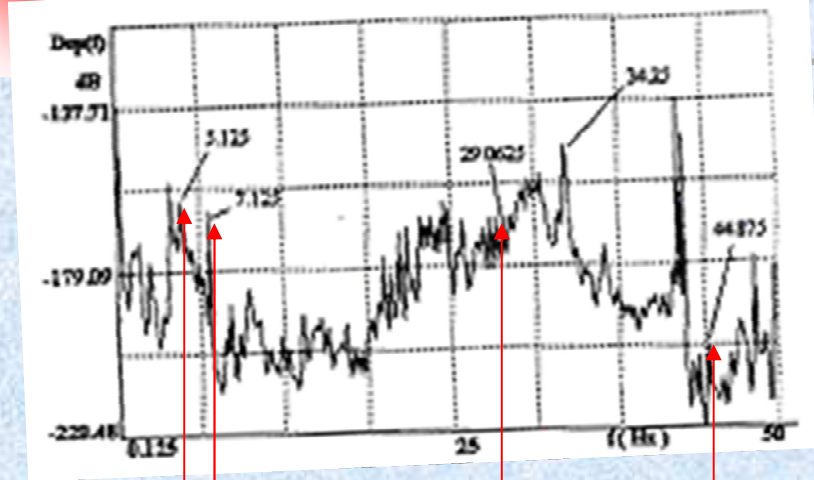
Toutes les pièces sont en mouvement. La presse se comporte alors comme une machine tournante et les efforts dynamiques sont périodiques.

6



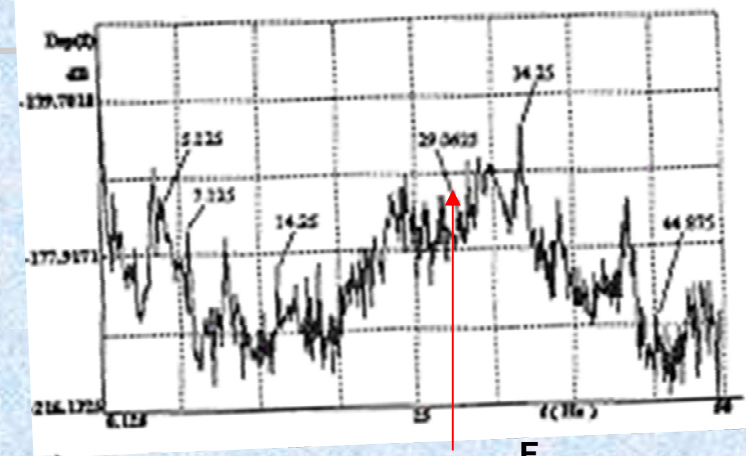
Analyse spectrale (1)

Spectre classique



F_0 transmission
5.125 Hz
-166.8068 dB
 F_0 volant
7.125 Hz
-172.5 dB
 F_0 bague extérieure
29.0625 Hz
-165.9 dB Hz
 F_0 arbre
44.875 Hz

Spectre paramétrique



F_0 bague extérieure
29.0625 Hz
-165.9 dB Hz

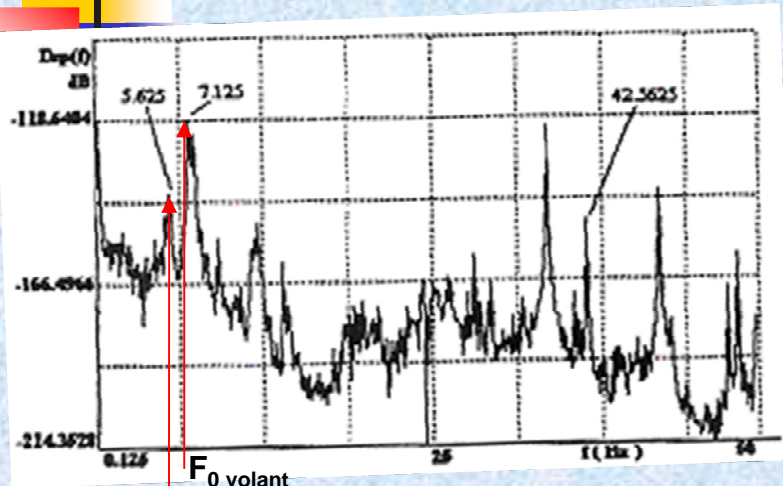
Défaut du balourd du volant d'inertie
Défaut de transmission de la courroie
Début de défaut sur la bague extérieure

Récapitulatif des éléments à surveiller en position p1 - mode non débrayé

Position composants	Défauts	Fréquence (Hz)	Vitesse caractéristique arbre de sortie <i>tr/min</i>	Nombre échantillons	Gamme de fréquence (Hz)
Arbre moteur	Balourd	45.07	80	1024	50
Volant d'inertie	Balourd	7.125	80	1024	50
Courroie	Transmission	5.2	80	1024	50
Roulement 6220	Défaut bague intérieure	42.04	80	1024	50
Roulement 6220	Défaut bague extérieure	29.13	80	1024	50
Roulement 6220	Défaut élément roulant	37.93	80	1024	50

Analyse spectrale (2)

Spectre classique

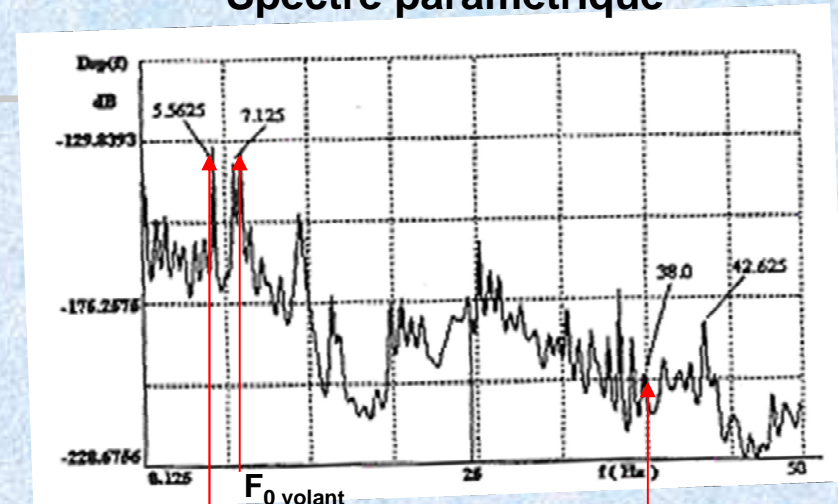


F_0 volant
7.125 Hz
-118.6 dB

F_0 transmission
5.625 Hz
-140 dB

Défaut du balourd du volant d'inertie
Défaut de transmission de la courroie
Début de défaut des roulements

Spectre paramétrique



F_0 volant
7.125 Hz

F_0 roulement
38 Hz

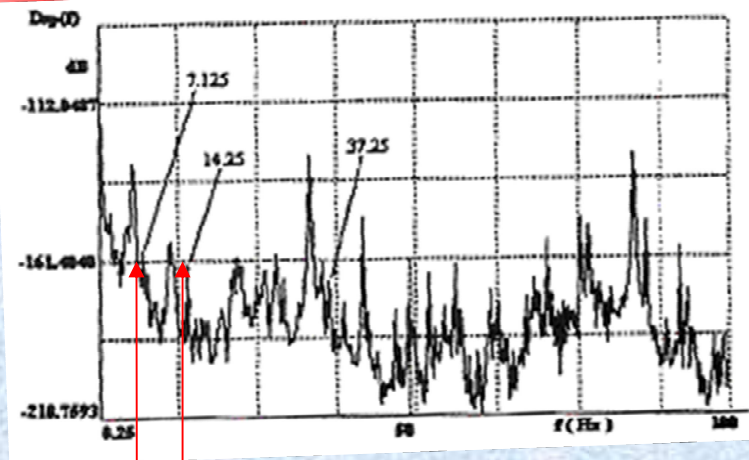
F_0 transmission
5.5625 Hz

Récapitulatif des éléments à surveiller en position p1 - mode non débrayé

Position composants	Défauts	Fréquence (Hz)	Vitesse caractéristique arbre de sortie <i>tr/min</i>	Nombre échantillons	Gamme de fréquence (Hz)
Arbre moteur	Balourd	45.07	80	1024	50
Volant d'inertie	Balourd	7.125	80	1024	50
Courroie	Transmission	5.2	80	1024	50
Roulement 6220	Défaut bague intérieure	42.04	80	1024	50
Roulement 6220	Défaut bague extérieure	29.13	80	1024	50
Roulement 6220	Défaut élément roulant	37.93	80	1024	50

Analyse spectrale (3)

Spectre classique

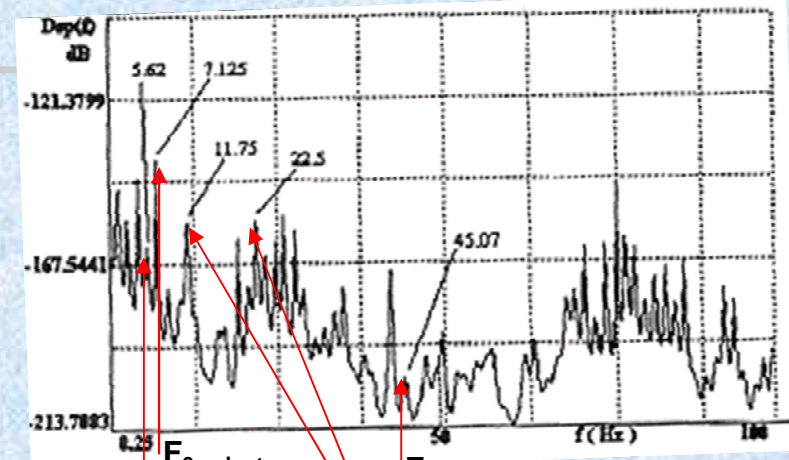


F_0 volant
7.125 Hz
-158.54 dB

$2F_0$ volant

Défaut du balourd (volant d'inertie, moteur)
Défaut de transmission de la courroie
Aucune dégradation des roulements

Spectre paramétrique



F_0 volant
7.125 Hz
 F_0 transmission
5.62 Hz
-162.7 dB

Harmo1_{transmission}
11.75 Hz
-126.2 dB

Harmo2_{transmission}
22.5 Hz
-122.4 dB

F_0 arbre
45.07 Hz

Récapitulatif des éléments à surveiller en position p1 - mode non débrayé

Position composants	Défauts	Fréquence (Hz)	Vitesse caractéristique arbre de sortie <i>tr/min</i>	Nombre échantillons	Gamme de fréquence (Hz)
Arbre moteur	Balourd	45.07	80	1024	50
Volant d'inertie	Balourd	7.125	80	1024	50
Courroie	Transmission	5.2	80	1024	50
Roulement 6220	Défaut bague intérieure	42.04	80	1024	50
Roulement 6220	Défaut bague extérieure	29.13	80	1024	50
Roulement 6220	Défaut élément roulant	37.93	80	1024	50

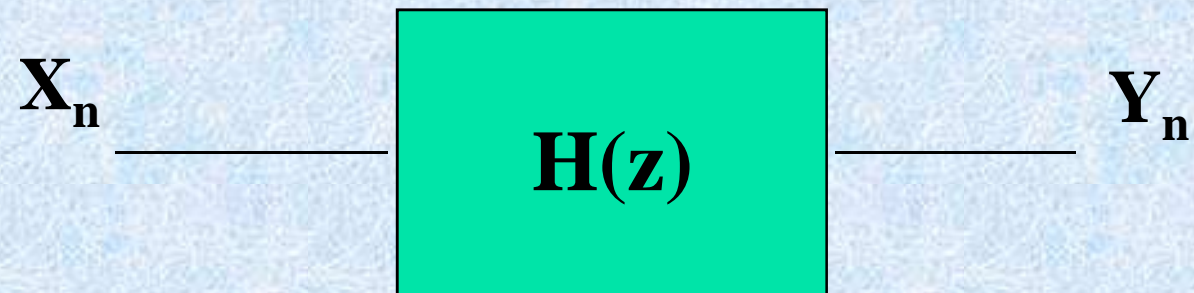
Systemes lineaires stochastiques

10

- 1 **Transmission d'un signal aleatoire dans un systeme lineaire**
- 2 **Processus generateurs d'un signal aleatoire : filtres formeurs du 1^{er} ordre**

Transmission d'un signal aléatoire dans un système linéaire

11



- Valeur moyenne de la sortie ?
- Intercorrélation entre la sortie et l'entrée ?
- Autocorrélation de la sortie ?
- Densité spectrale de puissance de la sortie ?

Paramètres statistiques

12

$$E[Y_n] = \bar{X} * h_n$$

Moyenne

$$R_{YX_\tau} = R_{X_\tau} * h_\tau$$

Intercorrélation

$$R_{Y_\tau} = h_\tau * h_{-\tau} * R_{X_\tau}$$

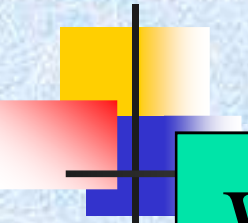
Autocorrélation

$$S_Y(f) = |H(f)|^2 S_X(f)$$

DSP

Filtres formeurs du 1^{er} ordre

13


$$Y_{t+1} = a Y_t + X_t$$

$$\text{avec } |a| < 1$$

$$E[X_t] = 0$$

$$E[Y_0] = \bar{y}_0$$

$$E[X_t^2] = V$$

$$E[(Y_0 - \bar{y}_0)^2] = P_0$$

$$E[X_t X_{t-\tau}] = 0 \quad \forall \tau \neq 0$$

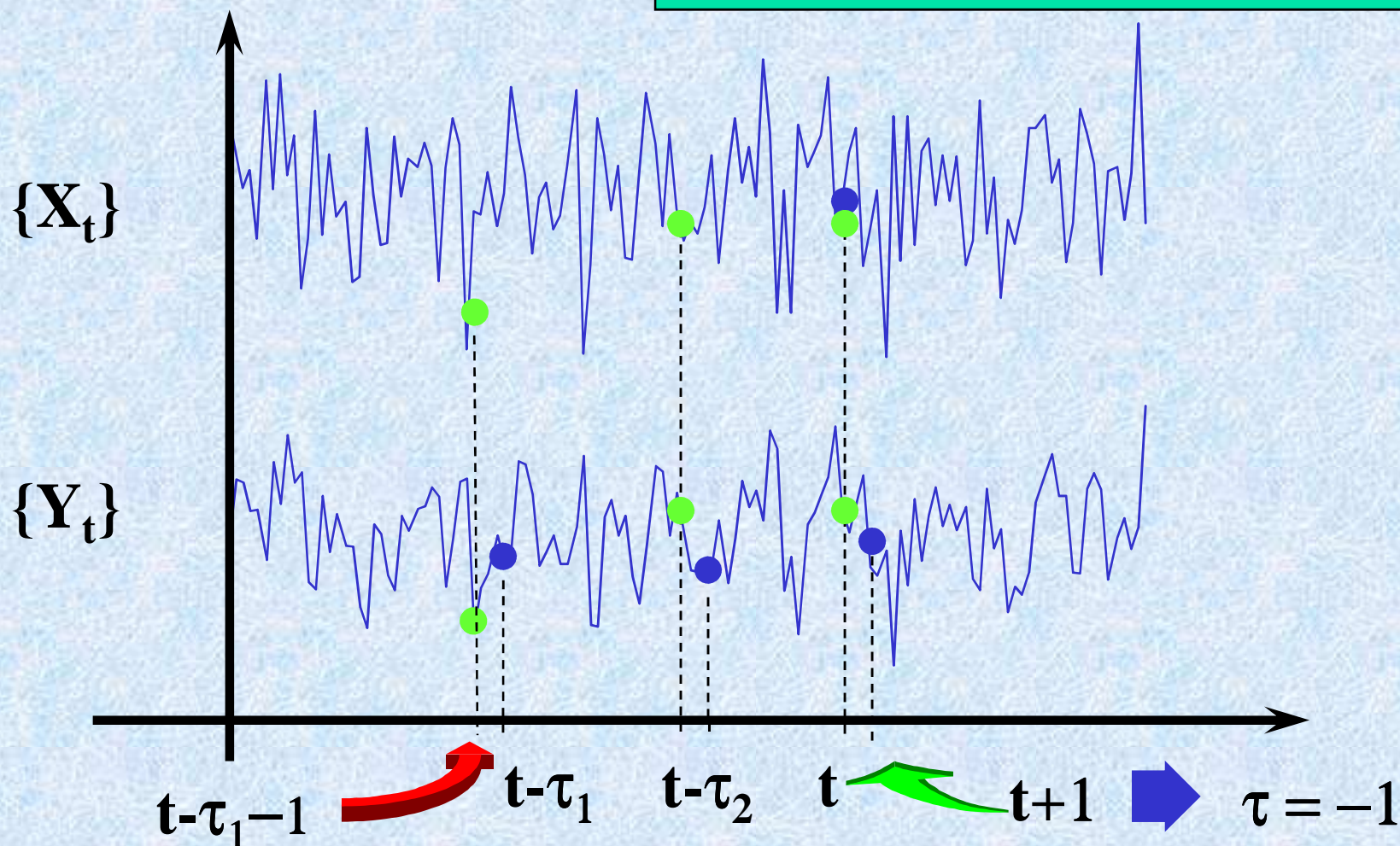
$$E[X_t Y_{t-\tau}] = 0 \quad \forall \tau \geq 0$$

Filtre formeur du 1^{er} ordre

$Y_{t-\tau}$ et X_t corrélés ?

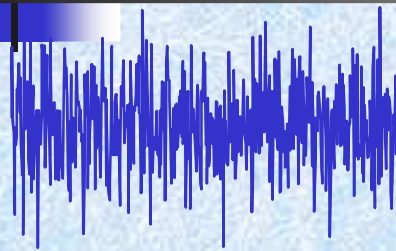
$$E[X_t Y_{t-\tau}] = 0 \quad \forall \tau \geq 0$$

14



Analyse

15



X_t

**Bruit blanc
centré de
variance V**

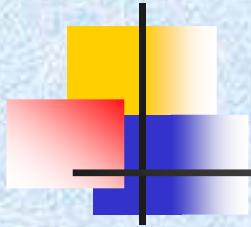
1^{er} ordre

Y_t

**Caractéristiques
statistiques de Y_t ?**

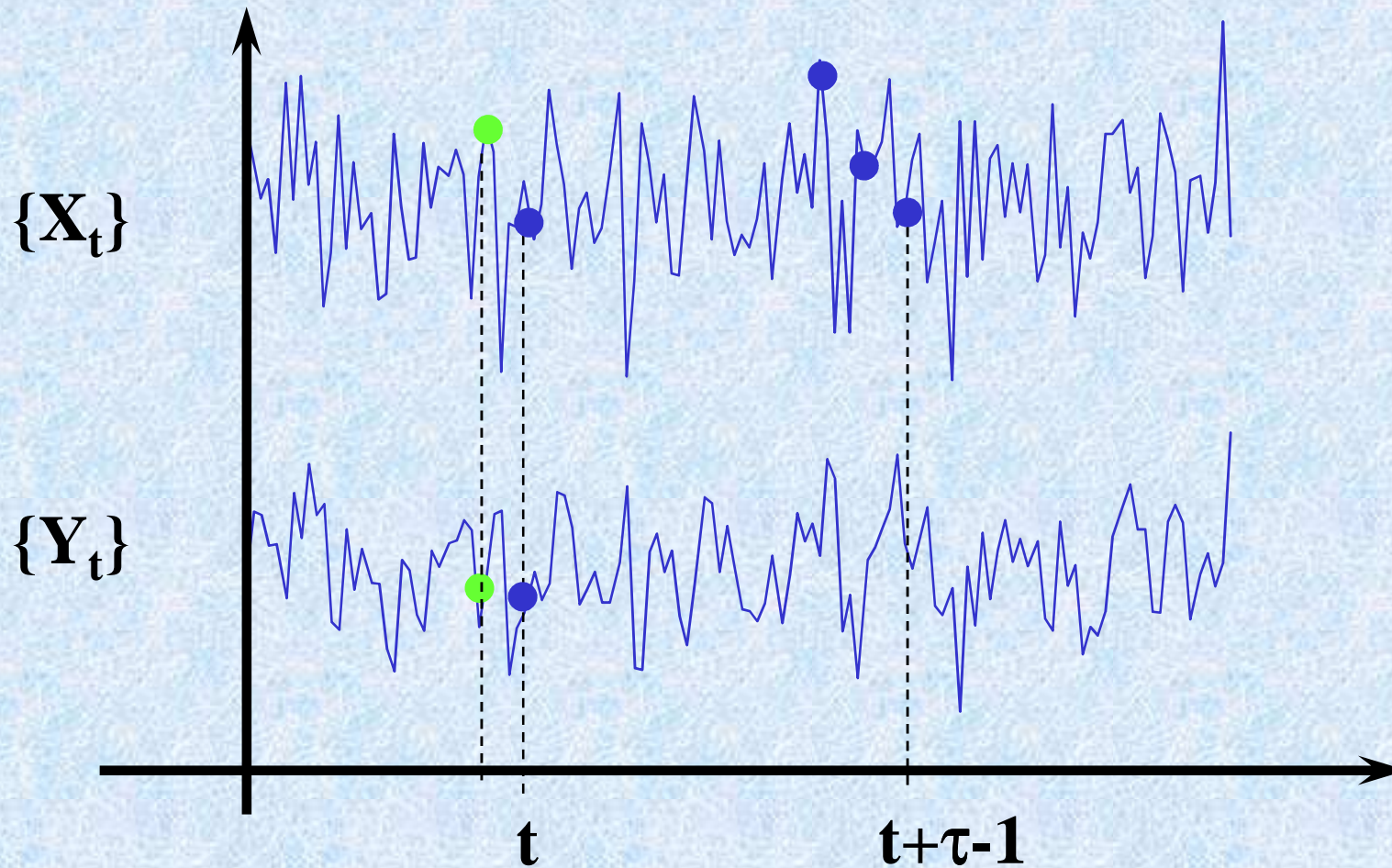
- **Moyenne ?**
- **Variance ?**
- **Autocorrélation ?**

Filtre formeur du 1^{er} ordre



Y_t corrélé à $X_t, X_{t+1}, \dots, X_{t+\tau-2}, X_{t+\tau-1}$?

16



Caractéristiques statistiques de la sortie du processus du 1^{er} ordre

17

- Moyenne
- Variance

$$P_{t+1} = a^2 P_t + V$$

$$E[Y_t] = a^t \bar{y}_0 = \bar{y}_t$$

$$\lim_{t \rightarrow \infty} P_t = \frac{V}{1 - a^2}$$

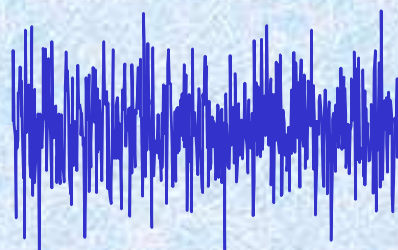
$$P_t = a^{2t} P_0 + \left(1 + a^2 + a^4 + \cdots + a^{2t-2}\right)V$$

- Autocorrélation

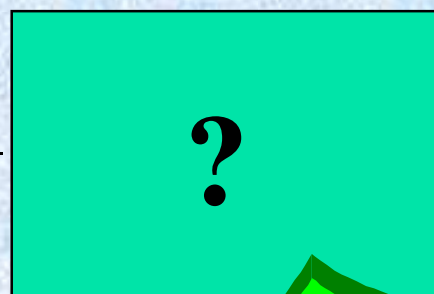
$$R_{Y_\tau} = a^{|\tau|} \frac{V}{1 - a^2}$$

Synthèse

18



x_t

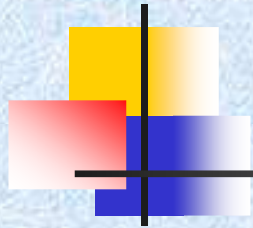


y_t

$$R_{Y_\tau} = P a^{|\tau|}$$

$$V = (1 - a^2) P$$

$$H(z) = \frac{z^{-1}}{1 - a z^{-1}}$$



Modélisation paramétrique

19

- 1 **Modèle AR**
- 2 **Prédiction linéaire**
- 3 **Modèles MA, ARMA**
- 4 **Estimation spectrale**
- 5 **Exemples**

Processus générateurs : MA, AR, ARMA

20



Bruit blanc
centré

x_n

$H(z)$

y_n

- Signal AR, filtre IIR

$$H(z) = \frac{1}{1 + \sum_{i=1}^N a_i z^{-i}}$$

- Signal MA, filtre FIR

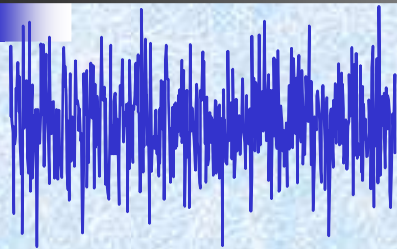
$$H(z) = \sum_{i=0}^N b_i z^{-i}$$

- Signal ARMA

$$H(z) = \frac{\sum_{i=0}^N b_i z^{-i}}{1 + \sum_{i=1}^N a_i z^{-i}}$$

Modélisation autorégressive

21



X_t

$$H(z) = \frac{1}{1 + \sum_{i=1}^N a_i z^{-i}}$$

Y_t

**Bruit blanc
centré de
variance V**

- **Réponse impulsionnelle h_i
du filtre ?**
- **Puissance de Y_t ?**
- **Autocorrélation de Y_t ?**

Processus générateur AR

22

■ Réponse impulsionnelle du filtre :

$$h_{\tau} = \frac{1}{V} R_{YX_{\tau}} = \frac{1}{V} \left(R_{Y_{\tau}} + \sum_{i=1}^N a_i R_{Y_{\tau+i}} \right)$$

■ Puissance :

$$R_{Y_0} = V - \sum_{i=1}^N a_i R_{Y_i}$$

■ Autocorrélation :

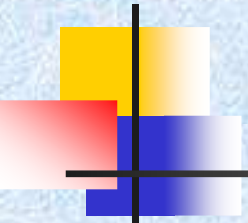
$$\tau > 0$$

$$R_{Y_{\tau}} = - \sum_{i=1}^N a_i R_{Y_{\tau-i}}$$

Equations de Yule Walker

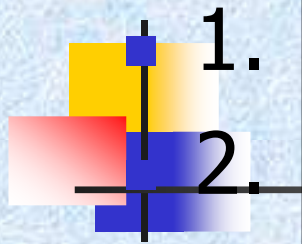
Equations normales étendues

23


$$\begin{bmatrix} R_{Y_0} & R_{Y_1} & R_{Y_2} & \cdot & R_{Y_N} \\ R_{Y_1} & R_{Y_0} & R_{Y_1} & \cdot & R_{Y_{N-1}} \\ R_{Y_2} & \cdot & \cdot & \cdot & R_{Y_{N-2}} \\ \cdot & & & R_{Y_0} & \cdot \\ R_{Y_N} & R_{Y_{N-1}} & \cdot & \cdot & R_{Y_0} \end{bmatrix} \begin{bmatrix} 1 \\ a_1 \\ a_2 \\ \cdot \\ a_N \end{bmatrix} = \begin{bmatrix} V \\ 0 \\ 0 \\ \cdot \\ 0 \end{bmatrix}$$

$$R \underline{a} = \underline{V}$$

Algorithme de Levinson-Durbin



1.

$$N = 0$$

2.

$$a_0(0) = 1, V_0 = R_{Y_0}$$

3.

$$\Gamma_{N+1} = -V_N^{-1} \sum_{n=0}^N R_{Y_{N+1-n}} a_N(n)$$

4.

$$V_{N+1} = \left(1 - |\Gamma_{N+1}|^2\right) V_N$$

5.

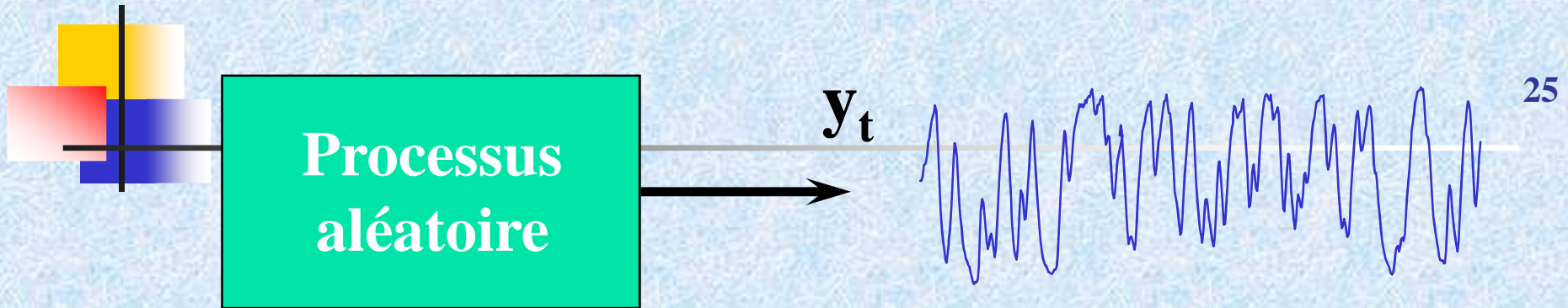
$$a_{N+1}(n) = \begin{cases} 1 & \text{si } n = 0 \\ a_N(n) + \Gamma_{N+1} a_N^*(N+1-n) & \text{si } 1 \leq n \leq N \\ \Gamma_{N+1} & \text{si } n = N+1 \end{cases}$$

6.

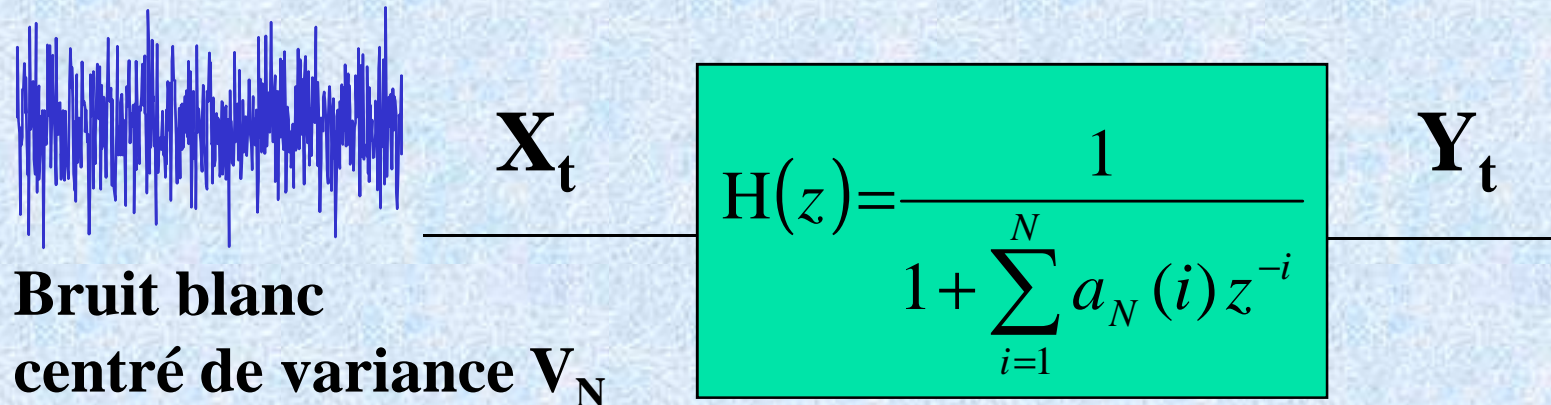
$$N = N + 1$$



Synthèse d'un signal AR



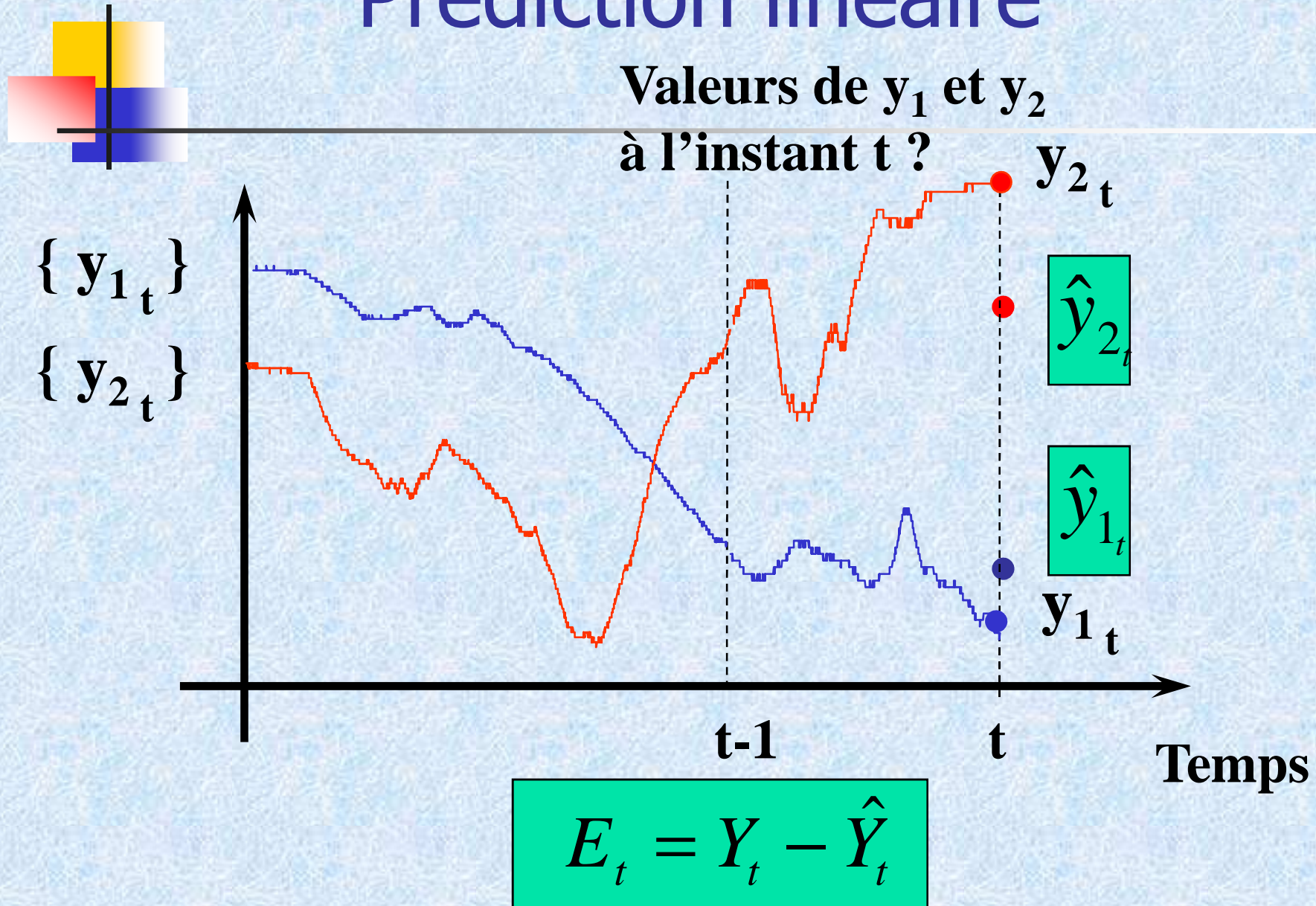
- Estimation de la séquence d'autocorrélation $\{ R_{Y_\tau} \}$



- Calcul des $a_N(i)$ et V_N par l'algorithme de Levinson
($\tau = 0, \dots, N$)

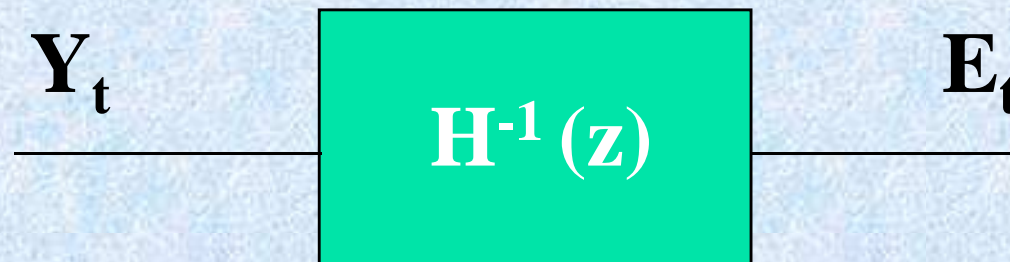
Prédiction linéaire

26

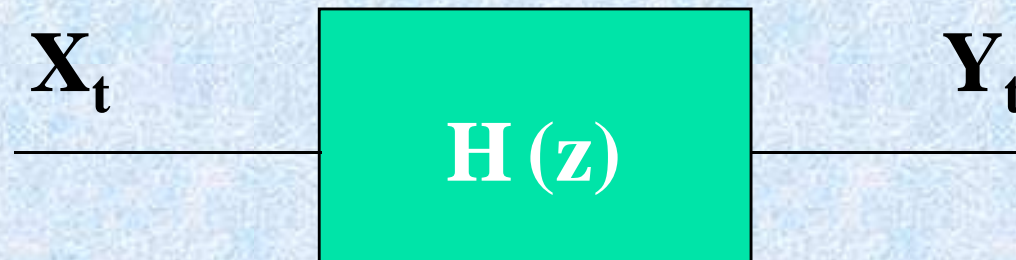


Analogie

27



Filtre MA prédicteur d'erreur ou filtre de blanchiment



Filtre AR

Equations de Yule Walker

28

$$\begin{bmatrix} R_{Y_0} & R_{Y_1} & R_{Y_2} & \cdot & R_{Y_N} \\ R_{Y_1} & R_{Y_0} & R_{Y_1} & \cdot & R_{Y_{N-1}} \\ R_{Y_2} & \cdot & \cdot & \cdot & R_{Y_{N-2}} \\ \cdot & & & R_{Y_0} & \cdot \\ R_{Y_N} & R_{Y_{N-1}} & \cdot & \cdot & R_{Y_0} \end{bmatrix} \begin{bmatrix} 1 \\ a_1 \\ a_2 \\ \cdot \\ a_N \end{bmatrix} = \begin{bmatrix} V \\ 0 \\ 0 \\ \cdot \\ 0 \end{bmatrix}$$

$$\underline{R} \underline{a} = \underline{V}$$

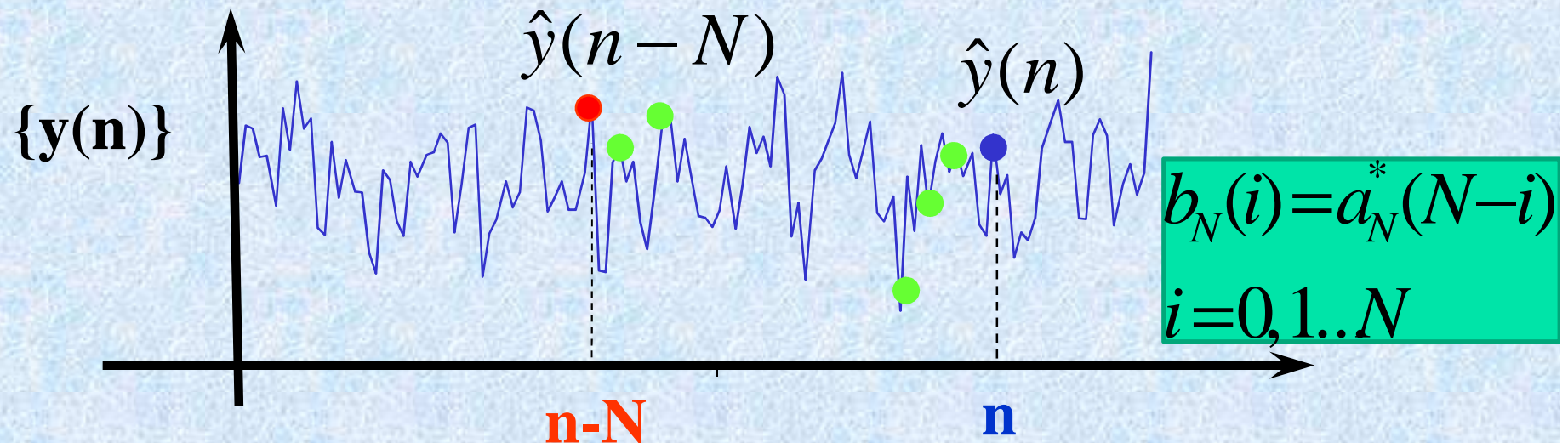
Erreurs de prédiction linéaire

Erreur directe

$$e_{D,N}(n) = y(n) - \hat{y}(n) = y(n) + \sum_{i=1}^N a_N(i) y(n-i)$$

Erreur rétrograde

$$e_{R,N}(n) = y(n-N) - \hat{y}(n-N) = y(n-N) + \sum_{i=0}^{N-1} b_N(i) y(n-i)$$



Algorithme de Levinson-Durbin

30

■ Critère des moindres carrés

$$J_m^D(n) = E\left[|e_{D,m}(n)|^2\right] \quad \text{ou} \quad J_m^R(n) = E\left[|e_{R,m}(n)|^2\right]$$

$m = 1, 2, \dots, N$ ordre du modèle

■ Récursivité sur l'ordre du modèle

$$a_m(n) = a_{m-1}(n) + \Gamma_m a_{m-1}^*(m-n)$$

$$a_m(m) = \Gamma_m$$

$$\Gamma_m = -\frac{R_{Y_m} + \underline{R}_{m-1}^{rt} \underline{a}_{m-1}}{R_{Y_0} + \underline{R}_{m-1}^{rt} \underline{a}_{m-1}^{r*}}$$

$$\underline{a}_{m-1} = \begin{bmatrix} a_{m-1}(1) \\ a_{m-1}(2) \\ \vdots \\ a_{m-1}(m-1) \end{bmatrix} \quad \underline{R}_{m-1}^r = \begin{bmatrix} R_{Y_{m-1}} \\ R_{Y_{m-2}} \\ \vdots \\ R_{Y_1} \end{bmatrix}$$

Coefficient de réflexion

Algorithme de Levinson-Durbin

31

■ Coefficient de réflexion

$$\Gamma_m = -\frac{R_{Y_m} + R_{m-1}^{rt} \underline{a}_{m-1}}{E[e_{D,m}(n)^2]} = -\frac{R_{Y_m} + R_{m-1}^{rt} \underline{a}_{m-1}}{E[e_{D,m-1}(n)^2](1 - |\Gamma_m|^2)}$$

Algorithme de Burg

32



Principe

- Minimisation simultanée des erreurs directe et rétrograde avec la contrainte de respect pour les coefficients du modèle AR de la récursivité de Levinson-Durbin
- Objectif
 - Obtention des coefficients de réflexion
- Spécificités
 - Haute résolution fréquentielle
 - Modèle stable
 - Efficacité de l'algorithme

Algorithme de Burg

33

- Critère des moindres carrés à minimiser

$$J_m^{D,R}(n) = E \left[\left| e_{D,m}(n) \right|^2 + \left| e_{R,m}(n) \right|^2 \right] = \sum_{n=m}^{N_{pts}-1} \left[\left| e_{D,m}(n) \right|^2 + \left| e_{R,m}(n) \right|^2 \right]$$

$m = 1, 2, \dots, N$ ordre du modèle

- Contrainte

$$a_m(n) = a_{m-1}(n) + \Gamma_m a_{m-1}^*(m-n)$$

$$a_m(m) = \Gamma_m$$

- Equations récursives sur l'ordre

$m = 1, 2, \dots, N$

$$e_{D,m}(n) = e_{D,m-1}(n) + \Gamma_m e_{R,m-1}(n-1) \quad e_{D,0}(n) = e_{R,0}(n) = y(n)$$

$$e_{R,m}(n) = \Gamma_m^* e_{D,m-1}(n) + e_{R,m-1}(n-1)$$

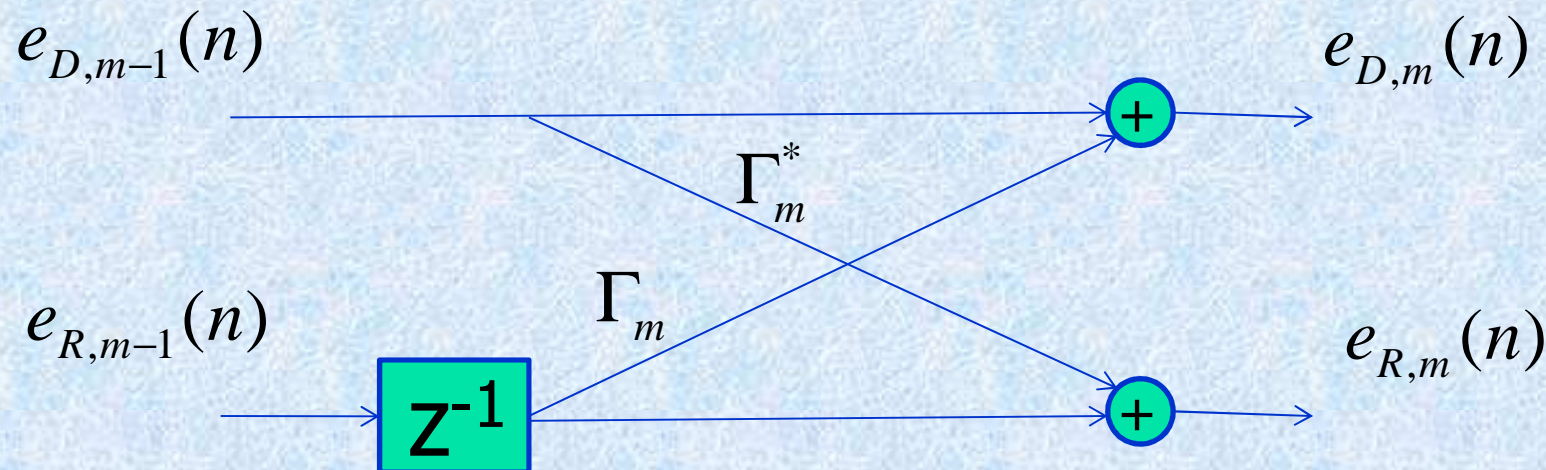
initialisation

Algorithme de Burg

34

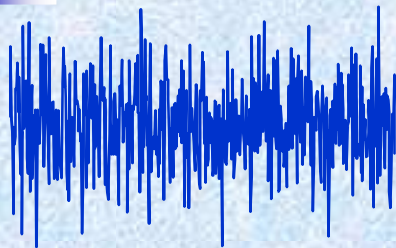
Coefficient de réflexion

$$\Gamma_m = \frac{- \sum_{n=m}^{Npts-1} e_{D,m-1}(n) e_{R,m-1}^*(n-1)}{\frac{1}{2} \sum_{n=m}^{Npts-1} \left[|e_{D,m-1}(n)|^2 + |e_{R,m-1}(n-1)|^2 \right]} \quad m=1,2,\dots,N$$



Modélisation moyenne mobile

35



\mathbf{X}_t

$$H(z) = \sum_{i=0}^N b_i z^{-i}$$

\mathbf{Y}_t

**Bruit blanc
centré de
variance V**

- **Réponse impulsionnelle h_i du filtre ?**
- **Puissance de \mathbf{Y}_t ?**
- **Autocorrélation de \mathbf{Y}_t ?**

Processus générateur MA

36

- Réponse impulsionnelle du filtre :

$$h_i = b_i$$

- Puissance :

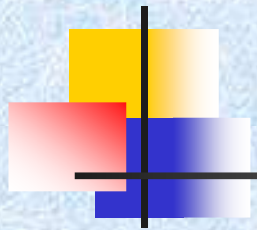
$$R_{Y_0} = V \sum_{i=0}^N h_i^2$$

- Autocorrélation :

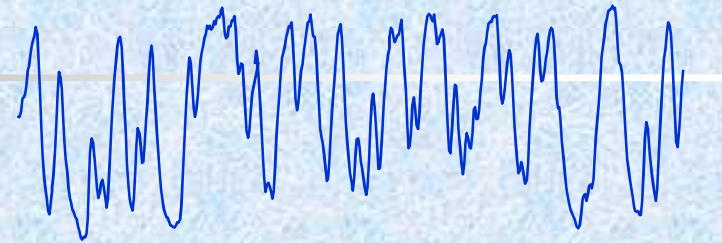
$$\tau \leq N$$

$$R_{Y_\tau} = V \sum_{i=\tau}^N h_i h_{i-\tau}$$

Synthèse d'un signal MA



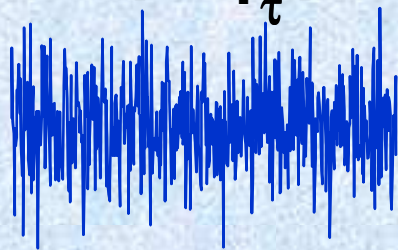
y_t



37

- Estimation de la séquence d'autocorrélation

$\{ R_{Y_\tau} \}$



Bruit blanc

centré de variance V

X_t

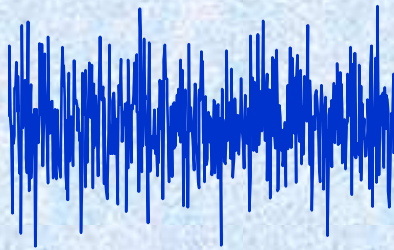
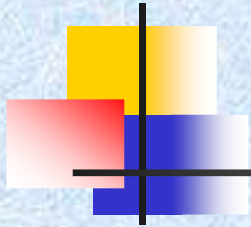
$$H(z) = \sum_{i=0}^N b_i z^{-i}$$

Y_t

- Calcul des b_i par programmation non linéaire ($\tau = 0, \dots, N$)

Modélisation autorégressive et moyenne mobile

38



**Bruit blanc
centré de
variance V**

\mathbf{X}_t

$$H(z) = \frac{\sum_{i=0}^N b_i z^{-i}}{1 + \sum_{i=1}^N a_i z^{-i}}$$

\mathbf{Y}_t

$$Y_t = \sum_{i=0}^N b_i X_{t-i} - \sum_{i=1}^N a_i Y_{t-i}$$

Autocorrélation de \mathbf{Y}_t ?

Processus générateur ARMA

Autocorrélation :

39

$$R_{Y_\tau} = - \sum_{i=1}^N a_i R_{Y_{\tau-i}} + \sum_{i=0}^N b_i E[X_{t-i} Y_{t-\tau}]$$

$$\tau > N$$

$$R_{Y_\tau} = - \sum_{i=1}^N a_i R_{Y_{\tau-i}}$$

$$\tau = N$$

$$R_{Y_N} = - \sum_{i=1}^N a_i R_{Y_{N-i}} + b_0 b_N V$$



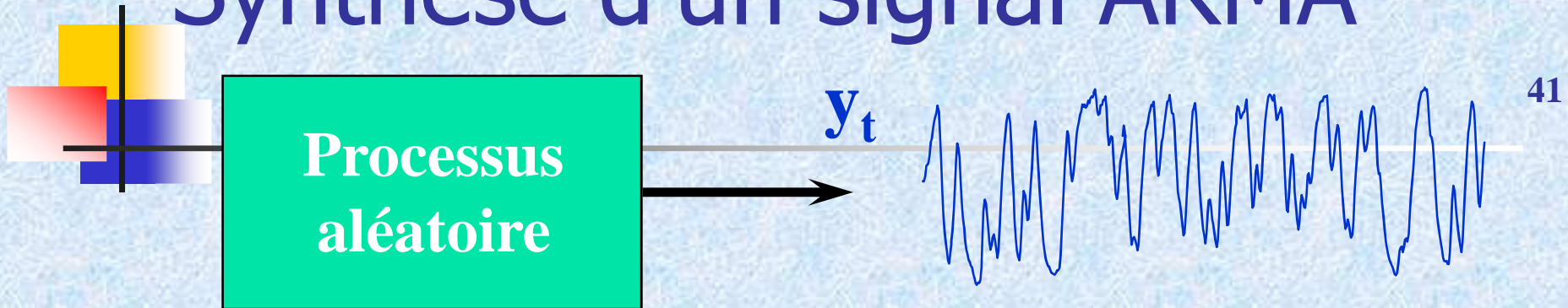
Modélisation ARMA

40

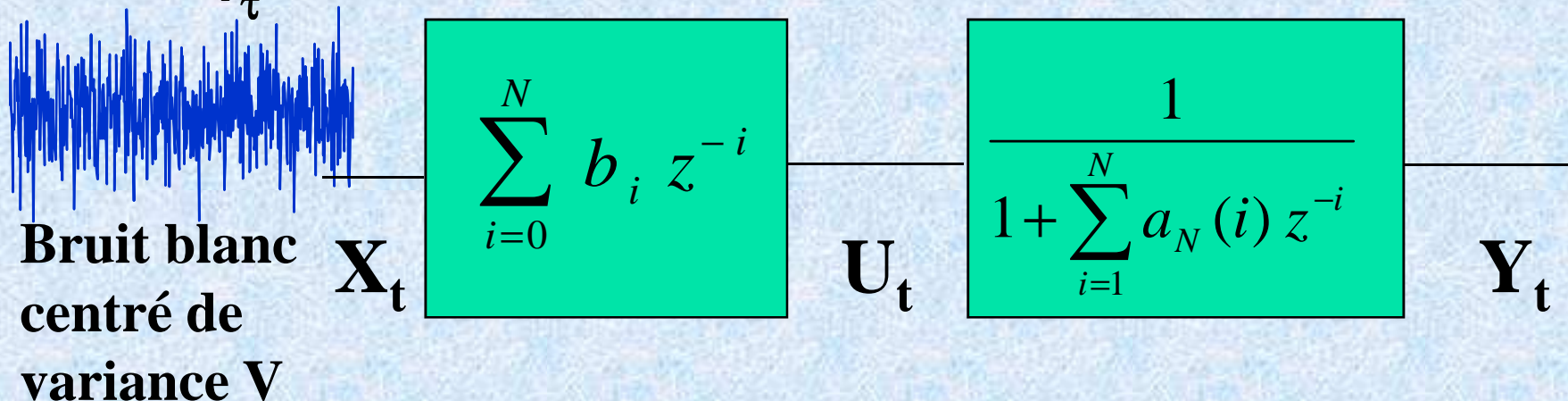
$$\begin{bmatrix} R_{Y_N} & R_{Y_{N-1}} & R_{Y_{N-2}} & \cdot & R_{Y_0} \\ R_{Y_{N+1}} & R_{Y_N} & R_{Y_{N-1}} & \cdot & R_{Y_1} \\ R_{Y_{N+2}} & \cdot & \cdot & \cdot & R_{Y_2} \\ \cdot & \cdot & \cdot & R_{Y_N} & \cdot \\ R_{Y_{2N}} & R_{Y_{2N-1}} & \cdot & \cdot & R_{Y_N} \end{bmatrix} \begin{bmatrix} 1 \\ a_1 \\ a_2 \\ \cdot \\ a_N \end{bmatrix} = \begin{bmatrix} b_0 b_N V \\ 0 \\ 0 \\ \cdot \\ 0 \end{bmatrix}$$

Equations de Yule Walker

Synthèse d'un signal ARMA



1 Estimation de la séquence d'autocorrélation $\{ R_{Y_\tau} \}$



2 Calcul des $a_N(i)$ par l'algorithme de Levinson ($\tau = 0, \dots, N, \dots, 2N$)

Synthèse d'un signal ARMA

42

3 Détermination des $\{ U_t \}$

$$U_t = Y_t + \sum_{i=1}^N a_i Y_{t-i}$$

4 Estimation de la séquence d'autocorrélation $\{ R_{U_\tau} \}$

5 Calcul des b_i par programmation non linéaire

$$R_{U_\tau} = V \sum_{i=0}^{N-\tau} b_i b_{i+\tau}$$

$$b_0 = 1, \tau \leq N$$

Estimation de la DSP à partir du modèle AR du signal

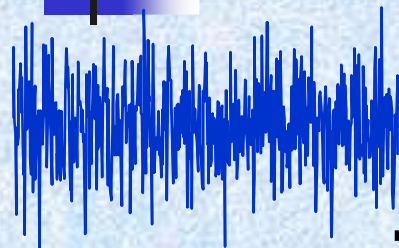
43

- Estimation de la séquence d'autocorrélation $\{R_y(k)\}$.
- Calcul des $a_N(i)$ et V_N par l'algorithme de Levinson.
- Détermination de la Densité Spectrale de Puissance :

$$S_Y(f) = \frac{V_N}{\left| 1 + \sum_{n=1}^N a_N(n) e^{-j2\pi f n T_e} \right|^2}$$

Estimateur de DSP

44

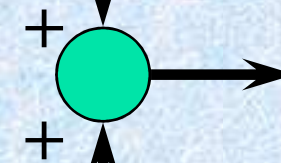


**Bruit blanc
centré de
variance 1**

$$(1 - z^{-1})^3 (1 + z^{-1})$$

Signal MA

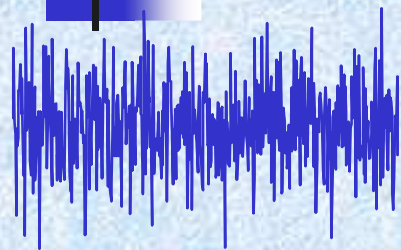
$$2 \sin\left(\frac{4\pi}{5} t\right) + 2 \sin\left(\frac{31\pi}{40} t\right)$$



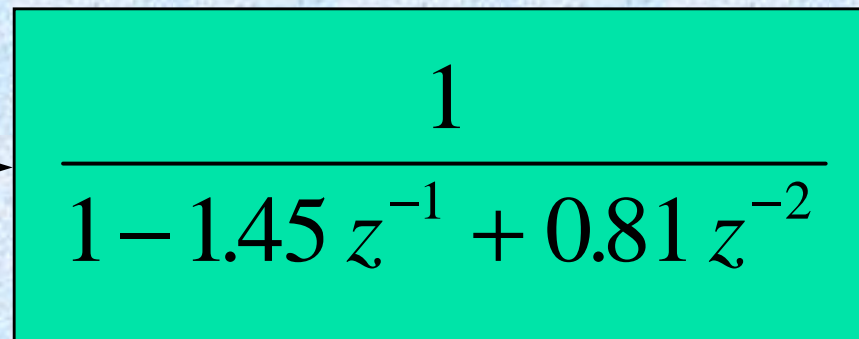
**Estimateur
de DSP**

Estimateur de DSP

45



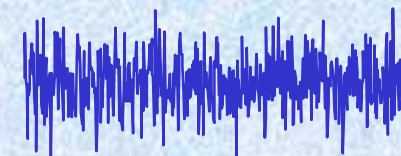
**Bruit blanc
centré de
variance 1**

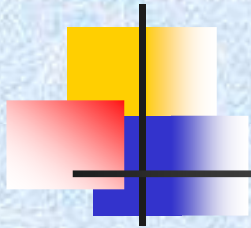


Signal AR

**Estimateur
de DSP**

**Bruit de mesure
de variance σ^2**





Choix de l'ordre du modèle

46

$$FPE(N) = \frac{M + (N + 1)}{M - (N + 1)} \hat{\sigma}_N^2$$

Final Prediction Error
(Akaike)

$$AIC(N) = \frac{2N}{M} + \ln \hat{\sigma}_N^2$$

Akaike Information Criterion

$$MDL(N) = \frac{N \ln M}{M} + \ln \hat{\sigma}_N^2$$

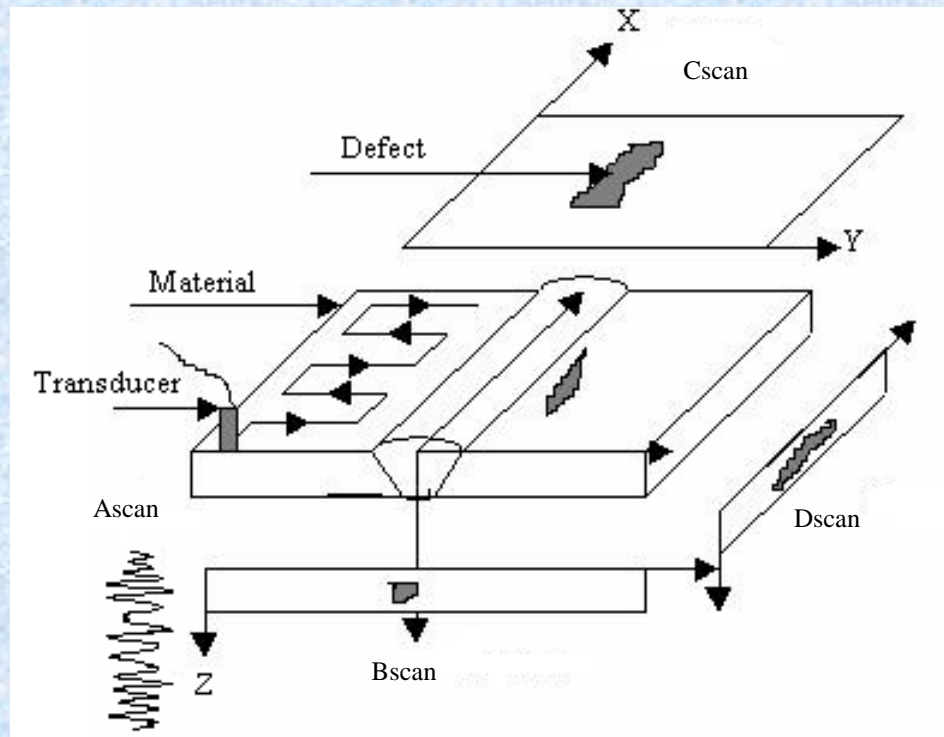
Minimum Description Length
(Rissanen)

$$CAT(N) = \frac{1}{M} \sum_{i=1}^N \left(\frac{M - i}{M \hat{\sigma}_i^2} \right) - \frac{M - N}{M \hat{\sigma}_N^2}$$

Criterion
Autoregressive
Transfer
(Parzen)

Application au contrôle non destructif d'une pièce en acier

47



Modélisation d'un bruit de structure

48

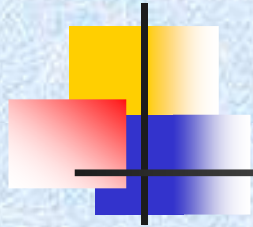
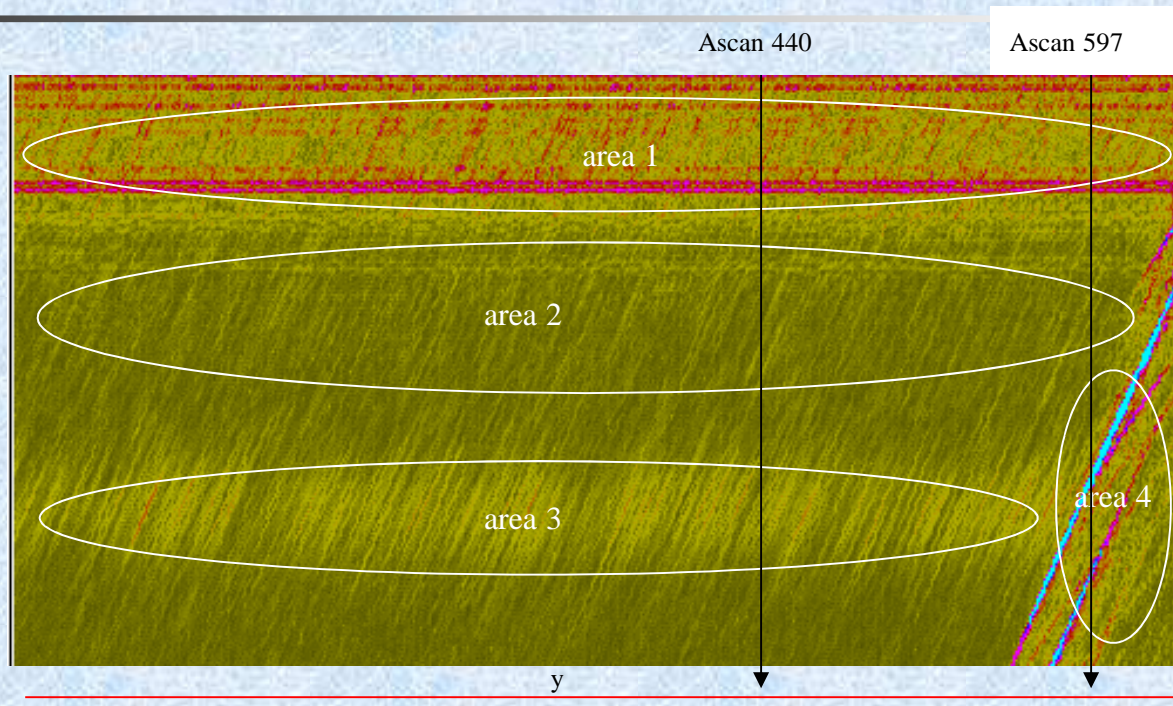
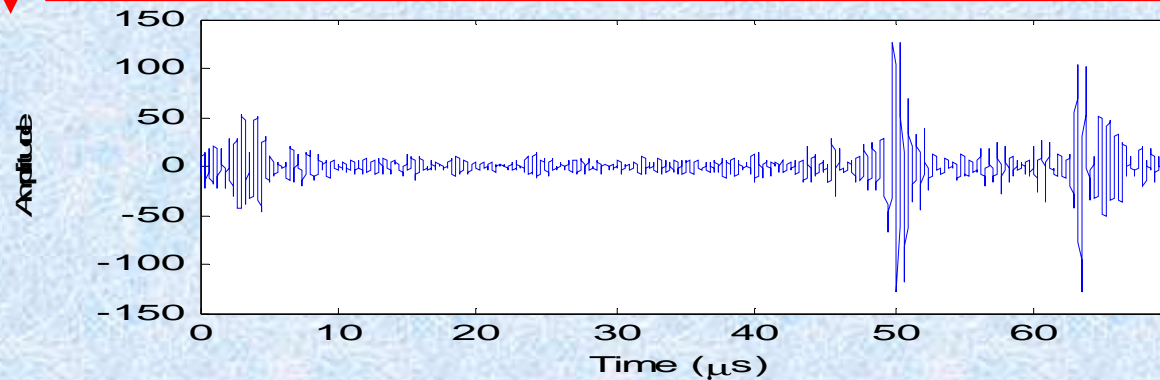


Image
B-scan

z

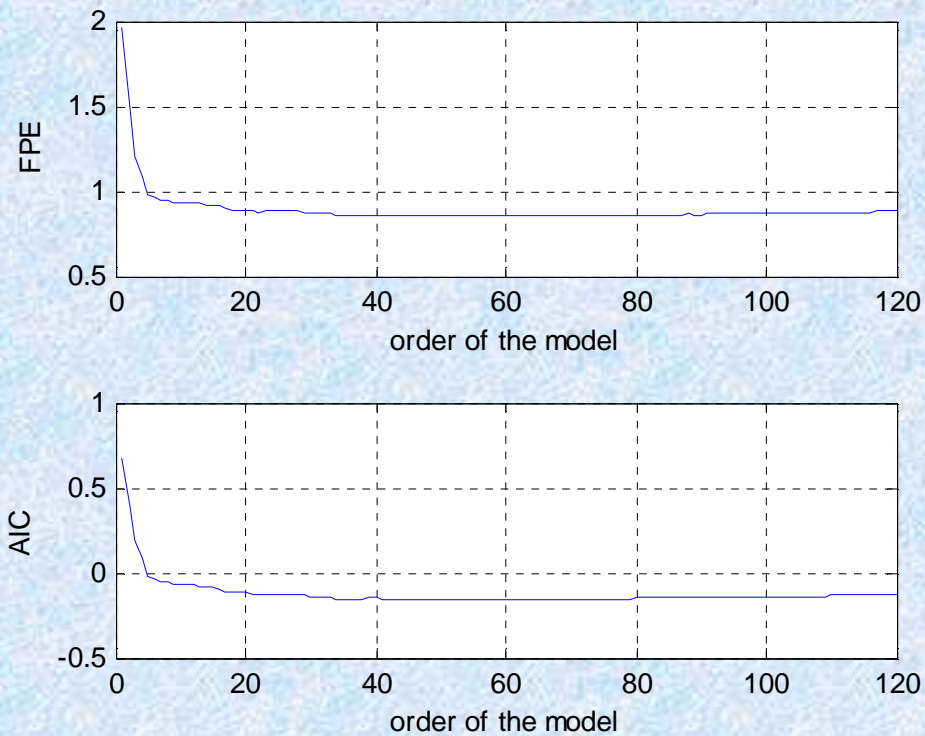


Signal
A-scan



Choix de l'ordre du modèle

49

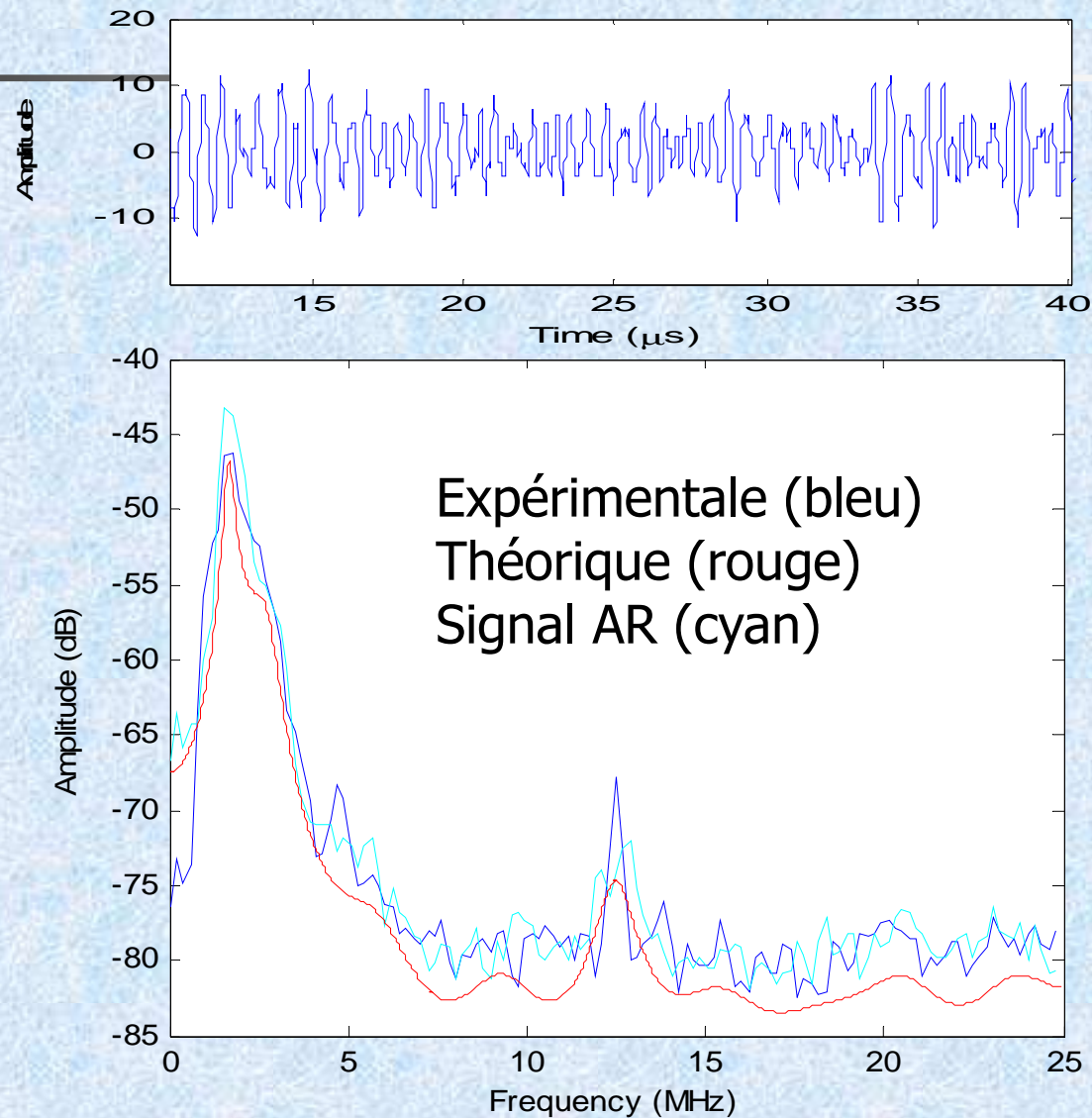


DSP paramétrique (modèle à 18 coefficients)

50



DSP



Analyse en valeurs propres pour l'estimation spectrale

51

- Cas d'une sinusoïde

$$x(n) = -a_1 x(n-1) - a_2 x(n-2)$$

$$a_1 = -2 \cos 2\pi f_k \quad x(-1) = 0$$

$$a_2 = 1 \quad x(-2) = -\sin 2\pi f_k$$

- Cas de p sinusoïdes

$$x(n) = -\sum_{m=1}^{2p} a_m x(n-m)$$



Résolution de

$$A(z) = 1 + \sum_{m=1}^{2p} a_m z^{-m} = 0$$

Analyse en valeurs propres

52

- En présence de bruit

$$y(n) = x(n) + w(n)$$

$$\sum_{m=0}^{2p} a_m y(n-m) = - \sum_{m=0}^{2p} a_m w(n-m) \quad a_0 = 1$$

$$\Gamma_y \underline{a} = \sigma_w^2 \underline{a}$$

\underline{a} : Vecteur propre de la matrice de variance-covariance

$$\underline{a} = \begin{bmatrix} 1 \\ a_1 \\ \cdot \\ a_{2p} \end{bmatrix}$$

Méthode de Pisarenko

53

- Objectif : déterminer des composantes sinusoïdales dans un signal bruité
- Propriété du signal bruité :

$$R_Y(0) = \sigma_w^2 + \sum_{i=1}^p P_i$$

$$R_Y(k) = \sum_{i=1}^p P_i \cos(2\pi f_i k) \quad k \neq 0$$

P_i : Puissance de la $i^{\text{ème}}$ sinusoïde

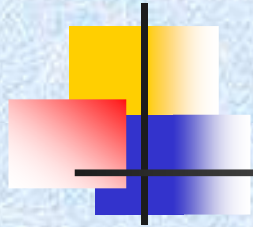
Méthode de Pisarenko : algorithme

54

- Estimation de la matrice de variance-covariance $\hat{\Gamma}_Y$ des données
- Calcul des valeurs propres de $\hat{\Gamma}_Y$
 - La plus petite $\Rightarrow \sigma_w^2$
 - Le vecteur propre associé $\Rightarrow \underline{a}$
- Calcul des racines de $A(z) = 1 + \sum_{m=1}^{2p} a_m z^{-m} = 0$
 \Rightarrow fréquences f_i
- Résolution du système d'équations :

Méthode de Pisarenko : algorithme (suite)

55



$$\begin{bmatrix} \cos 2\pi f_1 & \cos 2\pi f_2 & \cdot & \cdot & \cos 2\pi f_p \\ \cos 4\pi f_1 & \cos 4\pi f_2 & \cdot & \cdot & \cos 4\pi f_p \\ \cdot & \cdot & \cdot & \cdot & \cdot \\ \cdot & \cdot & \cdot & \cdot & \cdot \\ \cos 2\pi p f_1 & \cos 2\pi p f_2 & \cdot & \cdot & \cos 2\pi p f_p \end{bmatrix} \begin{bmatrix} P_1 \\ P_2 \\ \cdot \\ \cdot \\ P_p \end{bmatrix} = \begin{bmatrix} R_Y(1) \\ R_Y(2) \\ \cdot \\ \cdot \\ R_Y(p) \end{bmatrix}$$

- Obtention des amplitudes de chaque sinusoïde

Décomposition en valeurs propres

56

- Contexte : p sinusoides dans un bruit blanc

- Modèle de signal :
$$x(n) = \sum_{i=1}^p A_i e^{j(2\pi f_i n + \phi_i)}$$

- Propriété :
$$R_X(m) = \sum_{i=1}^p P_i e^{j2\pi f_i m}$$

- En présence de bruit $y(n) = x(n) + w(n)$


$$R_Y(m) = R_X(m) + \sigma_w^2 \delta(m) \quad m = 0, \pm 1, \dots, \pm(M-1)$$

Matrice de variance-covariance décomposée en sous-espaces

57

$$\Gamma_Y = \Gamma_X + \sigma_w^2 I$$

Autocorrélation du signal (M,M) Rang p $M > p$ Autocorrélation du bruit (M,M) Rang M



$$\Gamma_X = \sum_{i=1}^p P_i \underline{s}_i \underline{s}_i^H$$

$$\underline{s}_i = [1 \ e^{j2\pi f_i} \ e^{j4\pi f_i} \ e^{j2\pi(M-1)f_i}]^t$$

- Décomposition en valeurs propres de Γ_Y

λ_i Valeurs propres en ordre décroissant

\underline{v}_i Vecteurs propres $i=1, M$

Matrice de variance-covariance décomposée en sous-espaces

58

- En absence de bruit : $\lambda_i \neq 0 \quad i = 1, p$
 $\lambda_{p+1} = \lambda_{p+2} = \dots = \lambda_M = 0$

$$\Gamma_X = \sum_{i=1}^p \lambda_i \underline{v}_i \underline{v}_i^H$$

- En présence de bruit

$$\Gamma_Y = \sum_{i=1}^p (\lambda_i + \sigma_w^2) \underline{v}_i \underline{v}_i^H + \sum_{i=p+1}^M \sigma_w^2 \underline{v}_i \underline{v}_i^H$$

Sous-espace signal

Sous-espace bruit

Méthode MUSIC

Multiple Signal Classification

59

$$P(f) = \sum_{i=p+1}^M w_i \left| \underline{S}^H(f) \underline{v}_i \right|^2$$

Vecteurs propres
de l'espace bruit

$$\underline{S}(f) = [1 \ e^{j2\pi f} \ e^{j4\pi f} \ \dots \ e^{j2\pi(M-1)f}]^t$$

si $f = f_i$ $\underline{S}(f) = \underline{s}_i$ \underline{s}_i et \underline{v}_i orthogonaux

$$P(f_i) = 0 \quad i = 1, 2, \dots, p$$

$$\frac{1}{P(f)} = \frac{1}{\sum_{i=p+1}^M w_i \left| \underline{S}^H(f) \underline{v}_i \right|^2}$$

Méthode de Prony

60

- Modèle de signal : $x(n) = s(n) + b(n)$

$$s(n) = \sum_{k=1}^p a_k e^{j2\pi f_k n} \quad \text{ou} \quad s(n) = \sum_{k=1}^p A_k \cos(2\pi f_k n + \Phi_k)$$
$$0 \leq f_k \leq 1$$

- Equations :

$$s(n) + b_1 s(n-1) + b_2 s(n-2) + \dots + b_p s(n-P) = 0$$

ou

$$s(n) + b_1 s(n-1) + b_2 s(n-2) + \dots + b_{2P} s(n-2P) = 0$$

Méthode de Prony

61

- A partir des b_1, b_2, \dots, b_{2P} , en résolvant le polynôme

$$z^{2P} + b_1 z^{2P-1} + b_2 z^{2P-2} + \dots + b_{2P} = 0$$

on obtient les solutions

$$z = \rho_k e^{\pm 2j\pi f_k}$$

et donc les fréquences f_k

Méthode de Prony

62

$$x(n) + b_1 x(n-1) + \dots + b_p x(n-2P) = \varepsilon(n) = x(n) * h$$

$$h = [1 \quad b_1 \quad b_2 \quad \dots \quad b_{2P}]$$

- On cherche b_1, b_2, \dots, b_{2P} qui minimise le bruit $\sum_n \varepsilon^2(n)$
- En faisant varier n de $2P$ à $2P+M-1$

$$x(n) + b_1 x(n-1) + \dots + b_p x(n-2P) = \varepsilon(n)$$

Méthode de Prony

63

$$\mathbf{D} \mathbf{b} = \mathbf{E}$$

$$\begin{bmatrix} x(2P) & x(2P-1) & \cdot & \cdot & x(0) \\ x(2P+1) & x(2P) & \cdot & \cdot & x(1) \\ \cdot & \cdot & \cdot & \cdot & \cdot \\ \cdot & \cdot & \cdot & \cdot & \cdot \\ x(2P+M-1) & x(2P+M-2) & \cdot & \cdot & x(M-1) \end{bmatrix} \begin{bmatrix} 1 \\ b_1 \\ \cdot \\ \cdot \\ b_{2P} \end{bmatrix} = \begin{bmatrix} \varepsilon(2P) \\ \varepsilon(2P+1) \\ \cdot \\ \cdot \\ \varepsilon(2P+M-1) \end{bmatrix}$$

- M équations, 2P inconnus, 2P+M points sur le signal

Méthode de Prony

64

- **Principe** : minimiser $\mathbf{E}^t \mathbf{E}$
sous la contrainte que la première composante de \mathbf{b}
soit égale à 1
 - **Algorithme**
 - Construire \mathbf{D} puis $\mathbf{R} = \mathbf{D}^t \mathbf{D}$ puis \mathbf{R}^{-1}
 - Déterminer \mathbf{b}
$$\mathbf{b} = \frac{1}{\mathbf{u}^t \mathbf{R}^{-t} \mathbf{u}} \mathbf{R}^{-1} \mathbf{u}$$
- $(2P+1,1)$
 $\mathbf{u} = \begin{bmatrix} 1 \\ 0 \\ \vdots \\ 0 \end{bmatrix}$
- Dédire les racines du polynôme et les fréquences f_k